

Pruebas no paramétricas

Notas

Salida creada		05-SEP-2024 12:46:25
Comentarios		
Entrada	Conjunto de datos activo	ConjuntoDatos19
	Filtro	<ninguno>
	Ponderación	<ninguno>
	Segmentar archivo	<ninguno>
	N de filas en el archivo de datos de trabajo	400
Sintaxis		NPTESTS /RELATED TEST (VIFP_BS VIFP_KM VIFP_MC VIFP_WU VIFP_OC VIFP_VB VIFP_NQ) /MISSING SCOPE=ANALYSIS USERMISSING=EXCLUDE /CRITERIA ALPHA=0.05 CILEVEL=95.
Recursos	Tiempo de procesador	00:00:00,84
	Tiempo transcurrido	00:00:00,86

Resumen de contrastes de hipótesis

	Hipótesis nula	Prueba	Sig. ^{a,b}
1	Las distribuciones de VIFP_BS, VIFP_KM, VIFP_MC, VIFP_WU, VIFP_OC, VIFP_VB y VIFP_NQ son iguales.	Prueba de Friedman para muestras relacionadas para análisis de la varianza de dos factores por rangos	,000

Resumen de contrastes de hipótesis

	Decisión
1	Rechace la hipótesis nula.

a. El nivel de significación es de ,050.

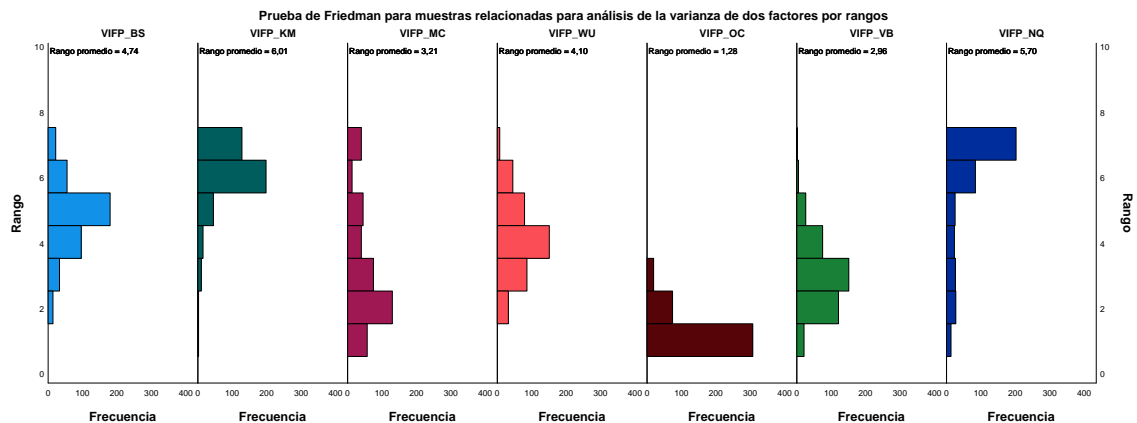
b. Se muestra la significancia asintótica.

Prueba de Friedman para muestras relacionadas para análisis de la varianza de dos factores por rangos

VIFP_BS, VIFP_KM, VIFP_MC, VIFP_WU, VIFP_OC, VIFP_VB, VIFP_NQ

Resumen de la prueba de Friedman para muestras relacionadas para análisis de la varianza de dos factores por rangos

N total	400
Estadístico de prueba	1422,808
Grado de libertad	6
Sig. asintótica (prueba bilateral)	,000



Comparaciones por parejas

Sample 1-Sample 2	Estadístico de prueba	Error estándar	Estadístico de prueba estándar	Sig.	Sig. ajust. ^a
VIFP_OC-VIFP_VB	-1,677	,153	-10,982	,000	,000
VIFP_OC-VIFP_MC	1,933	,153	12,651	,000	,000
VIFP_OC-VIFP_WU	2,820	,153	18,461	,000	,000
VIFP_OC-VIFP_BS	3,458	,153	22,635	,000	,000
VIFP_OC-VIFP_NQ	-4,420	,153	-28,936	,000	,000
VIFP_OC-VIFP_KM	4,733	,153	30,981	,000	,000
VIFP_VB-VIFP_MC	,255	,153	1,669	,095	1,000
VIFP_VB-VIFP_WU	1,143	,153	7,479	<,001	,000
VIFP_VB-VIFP_BS	1,780	,153	11,653	,000	,000
VIFP_VB-VIFP_NQ	-2,742	,153	-17,954	,000	,000
VIFP_VB-VIFP_KM	3,055	,153	20,000	,000	,000
VIFP_MC-VIFP_WU	-,887	,153	-5,810	<,001	,000
VIFP_MC-VIFP_BS	1,525	,153	9,983	,000	,000
VIFP_MC-VIFP_NQ	-2,487	,153	-16,285	,000	,000
VIFP_MC-VIFP_KM	2,800	,153	18,330	,000	,000
VIFP_WU-VIFP_BS	,638	,153	4,173	<,001	,001
VIFP_WU-VIFP_NQ	-1,600	,153	-10,474	,000	,000
VIFP_WU-VIFP_KM	1,913	,153	12,520	,000	,000
VIFP_BS-VIFP_NQ	-,962	,153	-6,301	<,001	,000

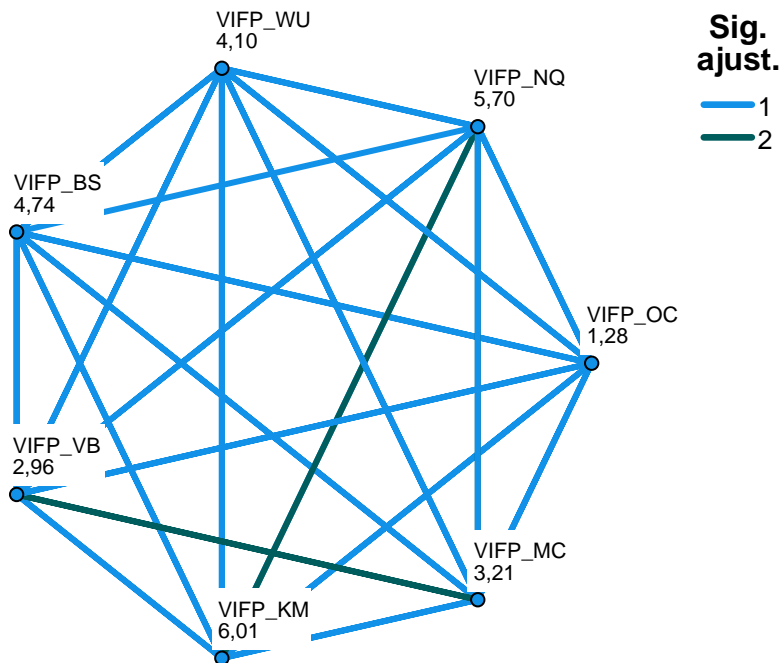
Comparaciones por parejas

Sample 1-Sample 2	Estadístico de prueba	Error estándar	Estadístico de prueba estándar	Sig.	Sig. ajust. ^a
VIFP_BS-VIFP_KM	-1,275	,153	-8,347	,000	,000
VIFP_NQ-VIFP_KM	,313	,153	2,046	,041	,856

Cada fila prueba la hipótesis nula que las distribuciones de la Muestra 1 y la Muestra 2 son iguales. Se visualizan las significaciones asintóticas (pruebas bilaterales). El nivel de significación es de ,050.

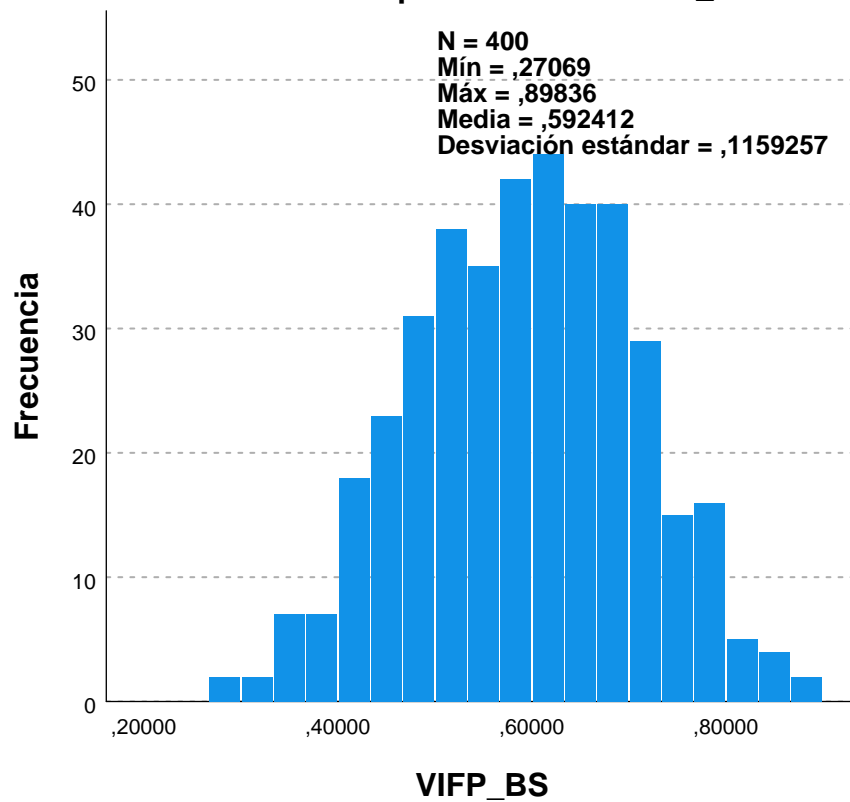
- a. Los valores de significación se han ajustado mediante la corrección Bonferroni para varias pruebas.

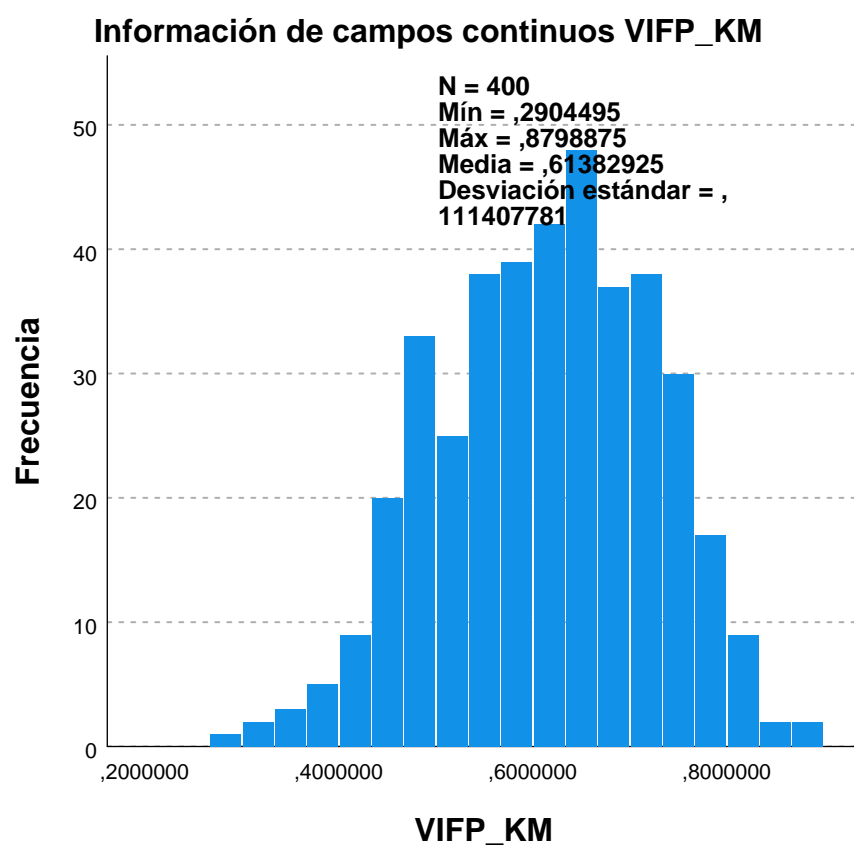
Comparaciones por parejas



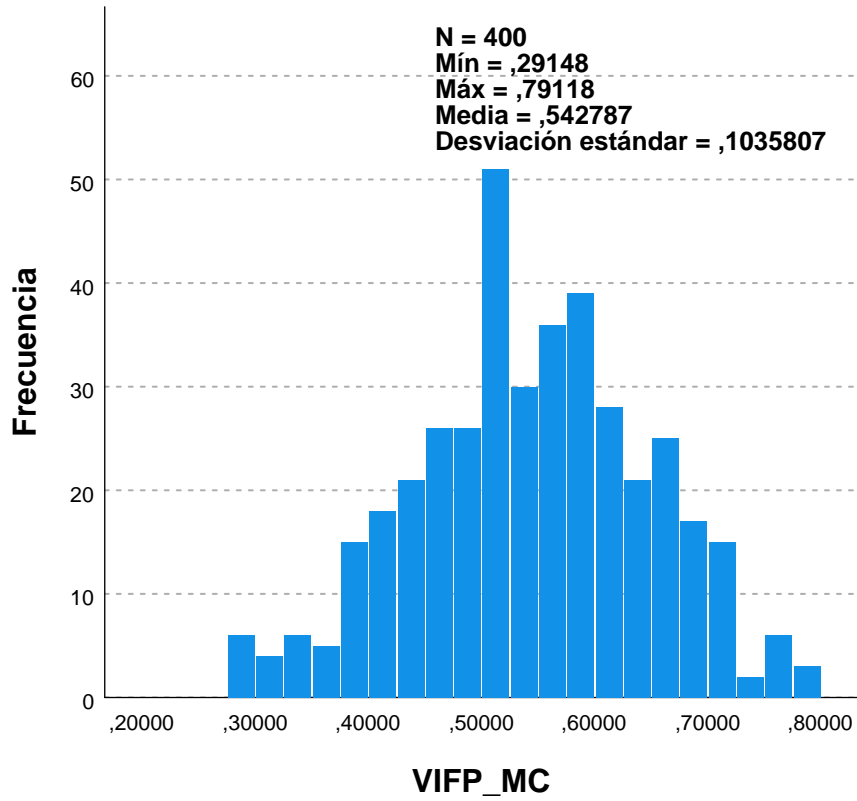
Cada nodo muestra en número de muestra de éxitos.

Información de campos continuos VIFP_BS

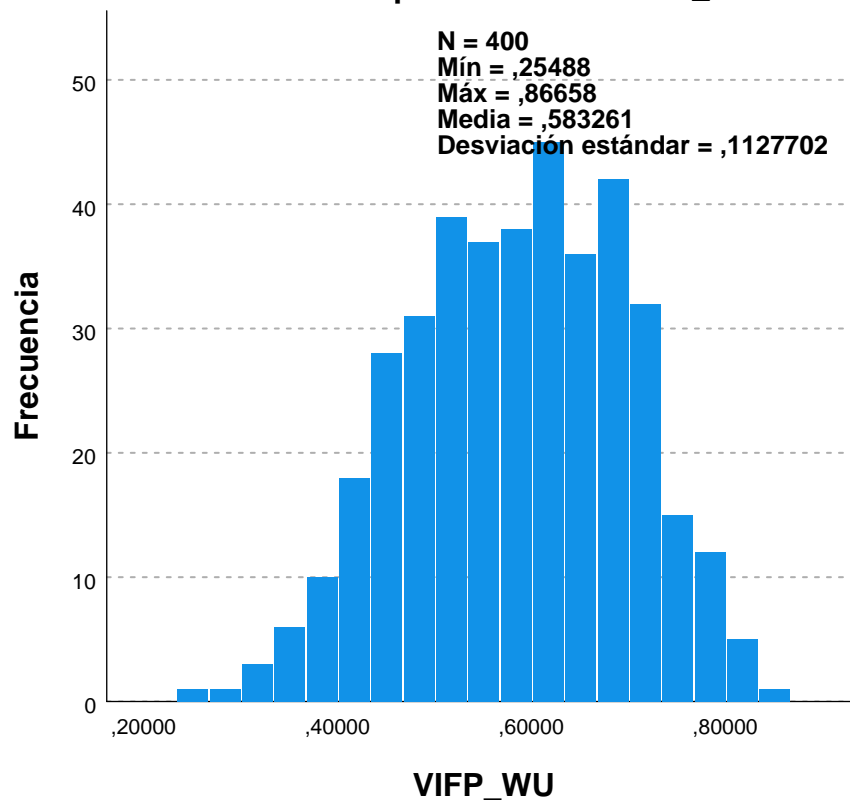




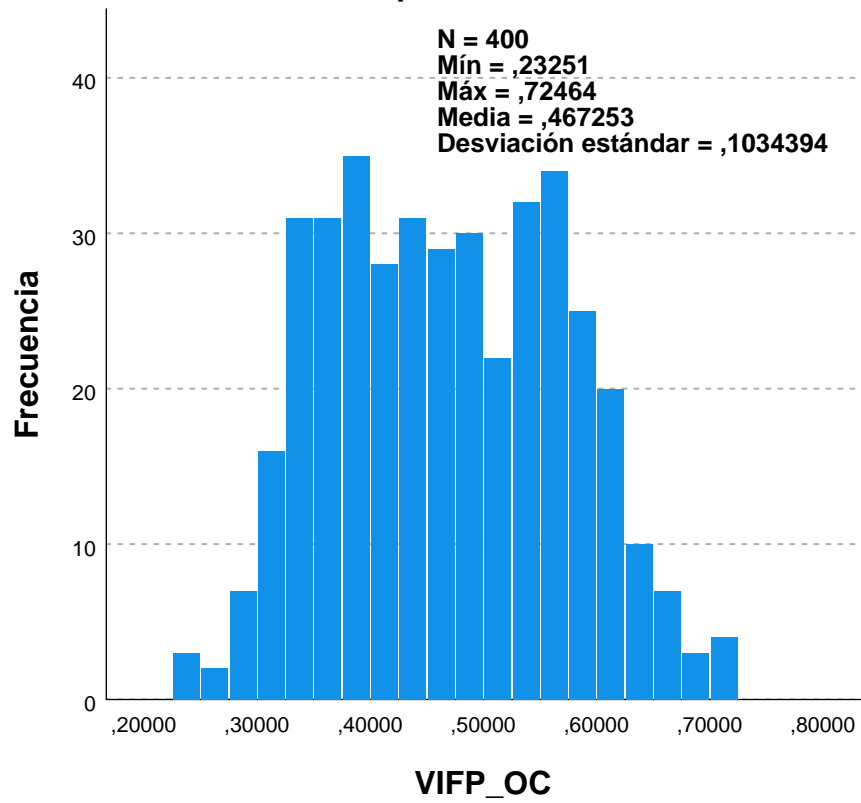
Información de campos continuos VIFP_MC



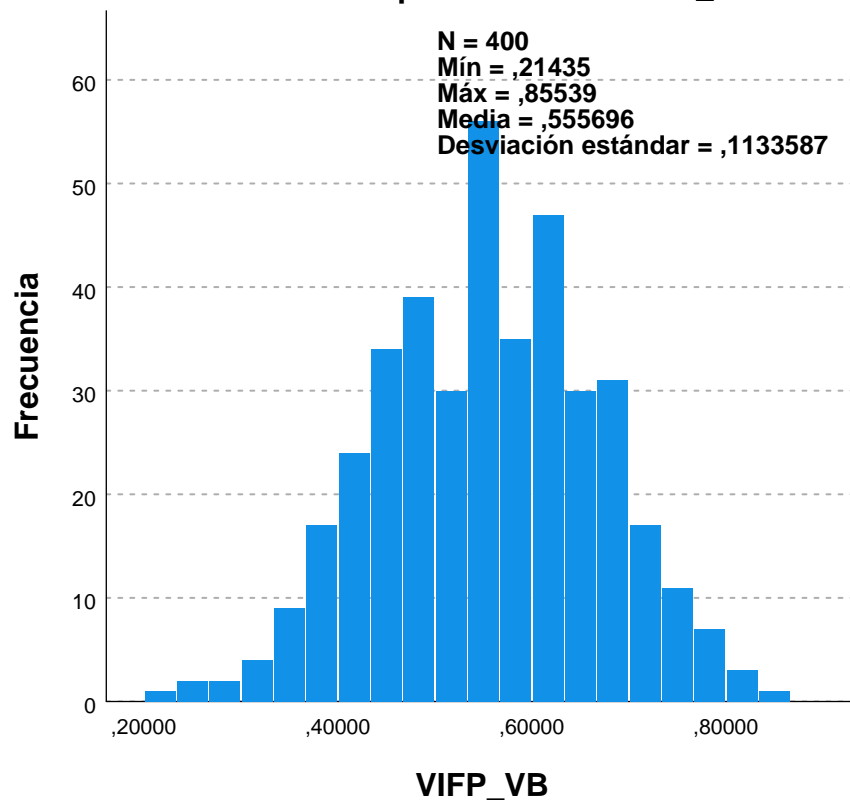
Información de campos continuos VIFP_WU



Información de campos continuos VIFP_OC



Información de campos continuos VIFP_VB



Información de campos continuos VIFP_NQ

